

- [5] Ситнов М.И. – Письма в ЖТФ, 1988, т. 14, в. 1, с. 89–92.
- [6] Карпман В.И. Нелинейные волны в диспергирующих средах. М.: Наука, 1973. 175 с.
- [7] Галеев А.А., Сагдееv Р.З. В сб.: Вопросы теории плазмы. М.: Атомиздат, 1973, в. 7, с. 3–145.
- [8] Цинцадзе Н.Л. – ЖЭТФ, 1970, т. 59, в. 10, с. 1251–1253.
- [9] Шапиро В.Д., Шевченко В.И. – ЖЭТФ, 1969, т. 57, в. 12, с. 2066–2078.
- [10] Кузелев М.В., Рухадзе А.А. – Физика плазмы, 1981, т. 7, в. 1, с. 91–96.
- [11] Меерсон В.И., Сасоров П.В., Шкляр Д.Р. – Физика плазмы, 1980, т. 6, в. 5, с. 1074–1080.

Поступило в Редакцию
22 июля 1988 г.

Письма в ЖТФ, том 14, вып. 23

12 декабря 1988 г.

ТОКОВЫЕ ПЕРЕСТРОЕЧНЫЕ ХАРАКТЕРИСТИКИ
 $InGaAsP/InP$ -ГЕТЕРОЛАЗЕРОВ С ВНЕШНИМ
 ДИСПЕРСИОННЫМ РЕЗОНАТОРОМ

М.И. Беловолов; Д.З. Гарбузов,
 Е.М. Дианов, С.В. Зайцев,
 А.П. Крюков, И.С. Тарасов

Интерес к изучению свойств полупроводниковых лазеров с внешним резонатором (ПЛВР), несмотря на большое количество работ, по–прежнему не ослабевает. Это объясняется тем, что для некоторых практических применений (когерентная оптическая связь, лазерная спектроскопия) именно внешний резонатор обеспечивает одночастотный режим работы лазера с узкой (< 1 мГц) или предельно узкой (< 1 кГц) линией генерации. Кроме того, у ПЛВР в режиме автостабилизации одночастотной генерации значительно расширяется диапазон непрерывной перестройки частоты. Режим автостабилизации подробно исследовался в работах [1, 2]. Здесь отметим, что в режиме автостабилизации, в отличие от обычного одночастотного режима, отсутствуют периодические изменения мощности генерации, вызванные переключением продольных мод внешнего резонатора (при изменении тока или длины внешнего резонатора). Одночастотная генерация в этом случае во всем диапазоне тока (или во всем диапазоне изменения длины внешнего резонатора) от возникновения и до срыва происходит на одной mode.

В упомянутых выше работах исследовалось ПЛВР с активным элементом на основе $AlGaAs$ ($\lambda \sim 0.85$ мкм). Однако этот

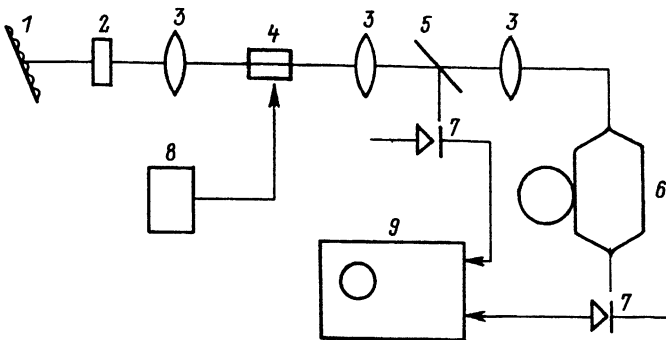


Рис. 1. Блок-схема установки. 1 – дифракционная решетка 600 штр/мм, 2 – эталон Фабри-Перо ($d = 6$ мм, $F = 5$), 3 – микрообъектив, 4 – лазер, 5 – полупрозрачное зеркало, 6 – волоконный интерферометр Маха-Цендера, 7 – фотоприемник, 8 – генератор тока, 9 – запоминающий осциллограф.

диапазон длин волн не перспективен для создания длинных когерентных линий связи. В настоящей работе исследовались токовые перестроочные характеристики одночастотных ПЛВР с активным элементом на основе $InGaAsP/InP$ ($\lambda \sim 1.3$ мкм), перспективных для осуществления скоростной когерентной связи на большие расстояния.

Эксперимент проводился по методике, хорошо себя зарекомендовавшей и описанной в [3]. Отличие состояло в том, что в данной работе нами был применен цельноволоконный интерферометр Маха-Цендера с двумя ответвителями на одномодовых световодах.

Регистрация сигнала биений двух интерферирующих световых полей НЕ₁₁-мод проводилась на выходе второго ответвителя (см. рис. 1). Такая схема регистрации сигнала значительно проще применявшейся в [3] и, кроме того, обладает повышенной светосилой.

В внешнем резонаторе нами использовались инжекционные лазеры двух типов: опытные мезаполосковые гетеролазеры раздельного ограничения с тонкими ($d_a < 500$ Å) активными областями [4] (квантоворазмерные гетеролазеры), далее тип I, и активные элементы от обычных мезаполосковых зарощенных гетеролазеров, далее тип II. Лазеры типа I наиболее перспективны для создания перестраиваемых источников с узким спектром генерации. Объясняется это тем, что размерное квантование и соответствующие изменения в энергетическом спектре активной области приводят к повышенной нелинейности оптических свойств при меньших значениях оптической мощности генерации лазеров. Это должно приводить к повышенной устойчивости одночастотной генерации (возникновению режима автостабилизации) и к увеличению диапазона плавной перестройки частоты генерации при изменении тока накачки. Плавная перестройка ПЛВР

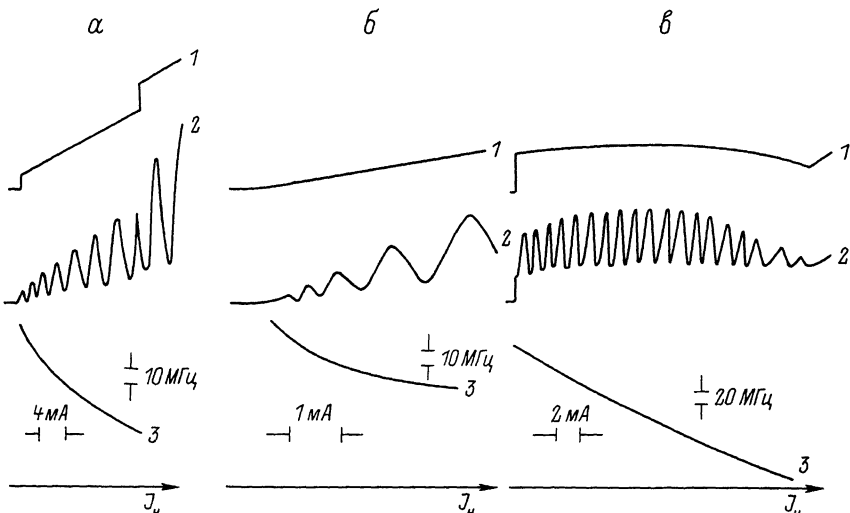


Рис. 2. Ватт-амперные характеристики лазеров $P(J_H)$ (кривые 1), осцилляции оптической мощности на выходе волоконного интерферометра Маха-Цендера $P_{имц}(J_H)$ (кривые 2), перестроочные характеристики частоты генерации $\gamma(J_H)$ (кривые 3).

осуществлялась пилообразными или треугольными импульсами тока со скоростью нарастания $\sim 5 \text{ мА/мс}$. В случае, если лазер излучал в одночастотном режиме, на выходе интерферометра Маха-Цендера при изменении тока накачки наблюдались осцилляции мощности $P_{имц}(J_H)$. Зависимость фазы осцилляций от J_H позволяла определять перестроенную характеристику $\gamma(J_H)$ ПЛВР (см. [3]). Один период осцилляций на выходе интерферометра (при разности длин плеч $4L = 20 \text{ м}$) соответствует изменению частоты на 10 МГц .

На рис. 2 приведены зависимости $P(J_H)$ и $P_{имц}(J_H)$ для лазеров типа I с различным характером перехода в одночастотный режим генерации. Лазер мог переходить в одночастотный режим скачком, при этом пороговый ток $J_{пор}$ снижался на $15-20 \text{ мА}$ (рис. 2, а). Кроме того, настройкой внешнего резонатора можно было добиться плавного включения одночастотного режима при мощностях генерации на уровне мощности в спонтанном режиме без внешнего резонатора и при таком же снижении $J_{пор}$ (рис. 2, б). При увеличении тока мощность линейно растет. Затем происходит срыв одночастотной генерации, после чего лазер вновь переходит в одночастотный режим на другой моде.

На рис. 2, в для лазеров типа I показаны зависимости $P(J_H)$ и $P_{имц}(J_H)$, которые имеют иной вид. При некотором значении тока накачки мощность генерации скачкообразно возрастает. В дальнейшем при увеличении тока мощность плавно уменьшается до срыва одночастотного режима, что объясняется смещением собственной моды лазера по резонансу внешнего резонатора.

Тип I	$J_{\text{пор}}^0 / J_{\text{пор}}$	ν_A , МГц	J_A , мА	$d\nu/dJ$, МГц/мА
39-532	0.86	90	18	2
73-714	0.9	110	20	2
43-532	0.8	240	22	3
46-532	0.9	50	10	1
18-714	0.9	80	20	2
48-532	0.87	50	18	2
Тип II				
1	1.0	30	6	4
2	1.0	30	7	4
3	1.0	50	7	7

Доказательством того, что во всех этих случаях наблюдается автостабилизация одночастотной генерации, служит следующий факт. При уменьшении эффективности связи лазера и внешнего резонатора на зависимости $P(J_H)$ появляются периодические скачки (по модам внешнего резонатора), фаза осцилляций на выходе интерферометра Маха-Цендера так же скачкообразно меняется, лазер переходит в обычный одночастотный режим генерации [2].

У лазеров типа II характер поведения в одночастотном режиме качественно совпадал с изображенным на рис. 2, а. Отличие состояло в том, что, во-первых, пороговый ток у лазеров типа II во внешнем резонаторе не изменялся. Во-вторых, диапазон существования одночастотного режима по току и диапазон непрерывной перестройки частоты были существенно меньше. В-третьих, ширина линии излучения ($\Delta\nu$), определявшаяся по методике работы [5], у лазеров типа II была на порядок больше, чем у лазеров типа I. В таблице приведены отношения пороговых токов лазеров с внешним резонатором и без него ($J_{\text{пор}}^0/J_{\text{пор}}$), данные по диапазону перестройки частоты в режиме автостабилизации (ν_A), диапазону тока, в котором лазер излучает в одночастотном режиме (J_A), а также скорости изменения частоты от тока накачки ($d\nu/dJ$) для исследованных лазеров. Причем для ($d\nu/dJ$) приводится минимальное значение (при максимальной эффективности связи лазера и внешнего резонатора).

Таким образом, исследования, проведенные по усовершенствованной методике, показали, что квантоворазмерные лазеры с внешним дисперсионным резонатором обладают повышенной стабильностью генерации в одночастотном режиме и перестроечный коэффициент $d\nu/dJ$ для них обычно лежит в пределах 1–5 МГц/мА. Вследствие этого при автостабилизации одночастотной генерации интервал тока, в котором существует одночастотный режим, достигает 10–22 мА, а интервал непрерывной перестройки частоты при этом составляет 50–240 МГц. Обращает на себя внимание линейный

рост мощности генерации при увеличении тока накачки в режиме автостабилизации (рис. 2, а, б). Есть предпосылки к тому, что такое поведение лазеров вызвано дополнительным боковым ограничением волновода, возникающим вследствие инжекции тока через активную область и образования теплового волновода. Это должно приводить к перераспределению вкладов теплового и электронного механизмов в показатель преломления. С ростом тока накачки внешний резонатор лазеров в случае, представленном на рис. 2, в, расстраивается быстрее, чем в случае рис. 2, а, б, когда добротность внешнего резонатора на всем интервале перестройки изменяется слабо. Для окончательного ответа на вопрос о физических механизмах перестройки спектра одночастотной генерации квантоворазмерных лазеров в внешнем резонатором необходимы дополнительные исследования.

Л и т е р а т у р а

- [1] Богатов А.П., Елисеев П.Г., Охотников О.Г., Рахвальский М.П., Хайретдинов К.А. - Труды ФИАН, 1986, т. 166, с. 52-67.
- [2] Акульшин А.М., Баженов В.Ю., Величанский В.Л., Зверков М.В., Зибрков А.С., Никитин В.В., Охотников О.Г., Саутенков В.А., Сенков Н.В., Юркин Е.К. - Квантовая электроника, 1986, т. 13, № 7, с. 1391-1400.
- [3] Баженов В.Ю., Беловолов М.И., Дианов Е.М., Дураев В.П., Крюков А.П., Пенчева В.Х., Тараненко В.Б., Швейкин В.И. - Письма в ЖТФ, 1987, т. 13, в. 12, с. 718-723.
- [4] Гарбузов Д.З., Зайцев С.В., Колышкин В.И., Кулагина М.М., Мокина И.А., Нивин А.Б., Овчинников А.В., Тарасов И.С. - Письма в ЖТФ, 1988, т. 14, в. 2, с. 99-104.
- [5] Беловолов М.И., Дианов Е.М., Кузнецов А.В., Пенчева В.Х., Сычугов В.А., Тулайкова Т.В. - Письма в ЖТФ, 1986, т. 12, в. 21, с. 1316-1320.

Поступило в Редакцию
26 мая 1988 г.